



# ***Grafika Komputerowa***

# ***Krzywe B-sklejane***

Alexander Denisjuk

[denisjuk@pjwstk.edu.pl](mailto:denisjuk@pjwstk.edu.pl)

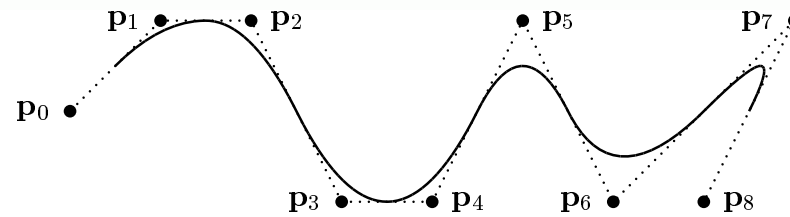
Polsko-Japońska Wyższa Szkoła Technik Komputerowych  
zamiejscowy ośrodek dydaktyczny w Gdańsku  
ul. Brzegi 55  
80-045 Gdańsk

# **Krzywe B-sklejane**

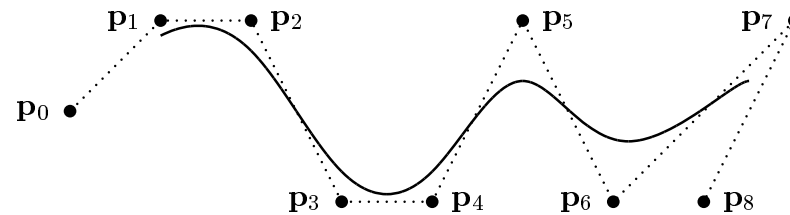
Najnowsza wersja tego dokumentu dostępna jest pod  
adresem

<http://users.pjwstk.edu.pl/~denisjuk/>

# Krzywa B-sklejana (B-spline)



(a) Degree two B-spline curve.



(b) Degree three B-spline curve.

Figure VIII.1: Degree two and degree three B-spline curves with uniformly spaced knots and nine control points. The degree three curve is smoother than the degree two curve, whereas, the degree two curve approaches the control points a little more closely. Compare with the degree eight Bézier curve of figure VII.9(c) on page 167.

# Krzywa B-sklejana trzeciego stopnia

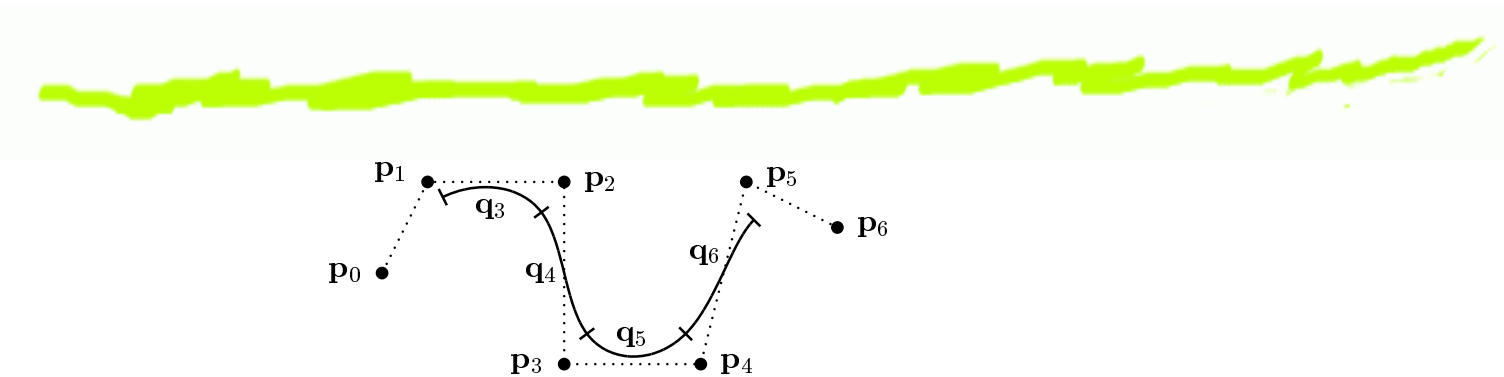


Figure VIII.2: A degree three uniform B-spline curve with seven control points.

$$q(u) = \sum_{i=0}^n N_i(u)p_i, \quad 3 \leq u \leq n + 1$$

$$N_i(u) = 0 \text{ dla } u \leq i \text{ lub } u \geq i + 4$$

# Funkcje wagowe

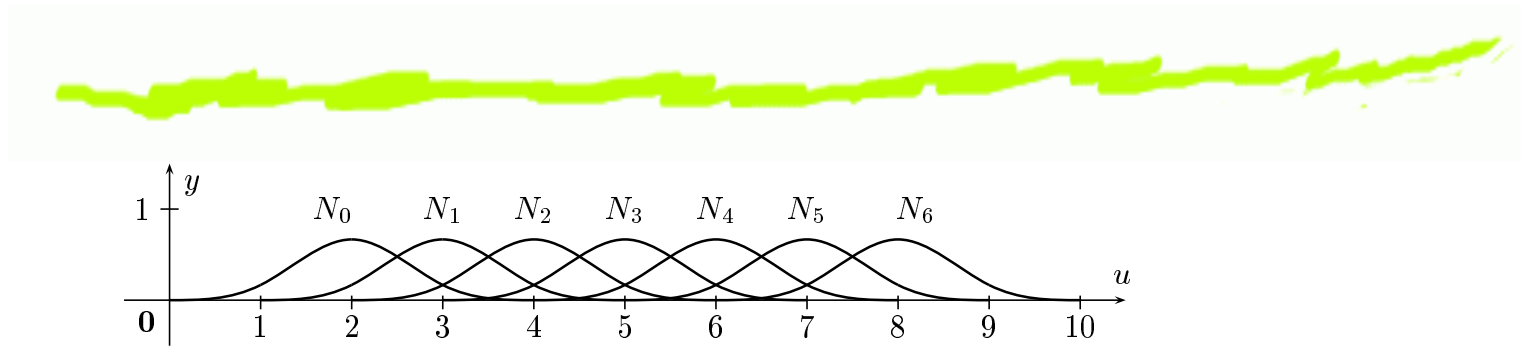


Figure VIII.3: The blending functions for a uniform, degree three B-spline. Each function  $N_i$  has support  $(i, i + 4)$ .

- ➊  $N_i(u) = N_0(u - i)$
- ➋ Obcięte wielomiany stopnia 3
- ➌  $N_i \in C^2$
- ➍  $\sum_i N_i(u) = 1$  dla  $u \in [3, n + 1]$
- ➎  $N_i(u) \geq 0$
- ➏  $N_i(u) = 0$  dla  $u \leq i$  lub  $u \geq i + 4$

# Funkcje wagowe

$$R_0(u) = N_0(u), \quad R_1(u) = N_0(u + 1), \quad R_2(u) = N_0(u + 2),$$

$$R_3(u) = N_0(u + 3) \quad u \in [0, 1]$$



$$R_0(u) = \frac{1}{6}u^3 \quad R_1(u) = \frac{1}{6}(-3u^3 + 3u^2 + 3u + 1)$$

$$R_2(u) = \frac{1}{6}(3u^3 - 6u^2 + 4) \quad R_3(u) = \frac{1}{6}(1 - u)^3$$

# Funkcje wagowe

$$\begin{array}{lll} R_0(0) = 0, & R'_0(0) = 0, & R''_0(0) = 0, \\ R_0(1) = \frac{1}{6} = R_1(0), & R'_0(1) = \frac{1}{2} = R'_1(0), & R''_0(1) = 1 = R''_1(0), \\ R_1(1) = \frac{2}{3} = R_2(0), & R'_1(1) = 0 = R'_2(0), & R''_1(1) = -2 = R''_2(0), \\ R_2(1) = \frac{1}{6} = R_3(0), & R'_2(1) = -\frac{1}{2} = R'_3(0), & R''_2(1) = 1 = R''_3(0), \\ R_3(1) = 0, & R'_3(1) = 0, & R''_3(0) = 0. \end{array}$$

# Krzywa B-sklejana niejednorodna

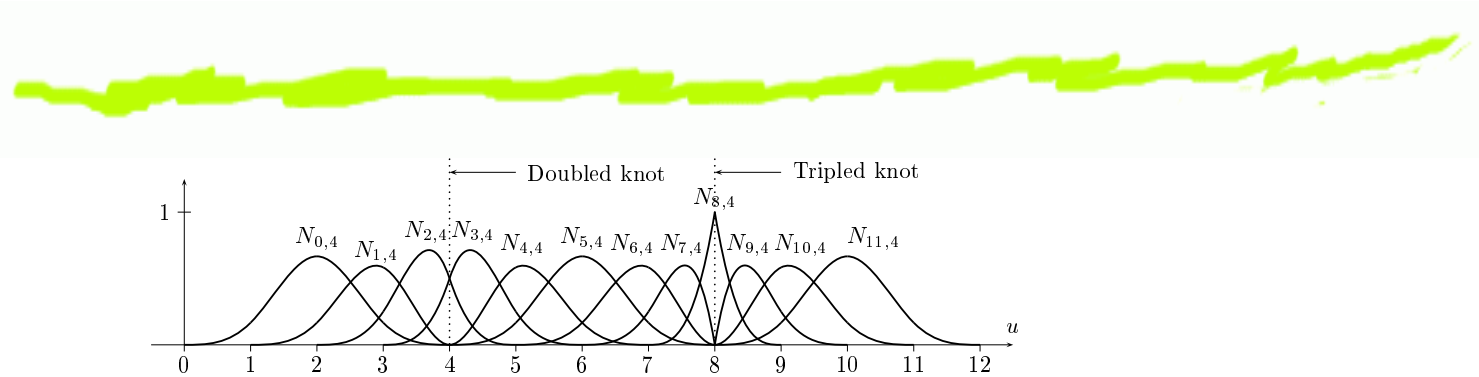


Figure VIII.4: Example of order four (degree three) blending functions with repeated knots. The knot vector is  $[0, 1, 2, 3, 4, 4, 5, 6, 7, 8, 8, 8, 9, 10, 11, 12]$  so that the knot 4 has multiplicity two and the knot 8 has multiplicity three.

- ⑥ węzły  $u_0 \leq u_1 \leq \dots \leq u_{l-1} \leq u_l$
- ⑥ węzły wielokrotne  $u_{i-1} \leq u_i = u_{i+1} \leq u_{i+2}$

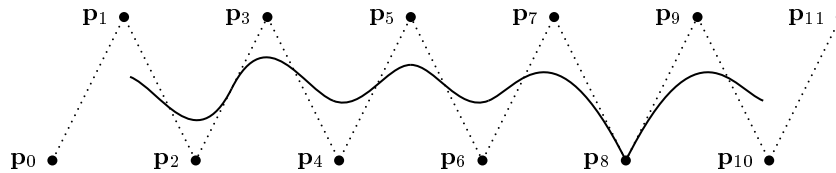


Figure VIII.5: Example of an order four B-spline created with repeated knots. This curve is created with the knot vector and blending functions shown in figure VIII.4. It has domain  $[3, 9]$ .

# Krzywa B-sklejana stopnia $m - 1$

(Cox de Boor)



- ➄ Dane są węzły  $u_0 \leq u_1 \leq \dots \leq u_{l-1} \leq u_l$ .
- ➄ Dla  $i = 0, 1, \dots, l - 1$  wagi  $N_{i,1} = \begin{cases} 1 & u_i \leq u < u_{i+1} \\ 0 & \text{inaczej} \end{cases}$
- ➄  $N_{i,k+1}(u) = \frac{u-u_i}{u_{i+k}-u_i} N_{i,k}(u) + \frac{u_{i+k+1}-u}{u_{i+k+1}-u_{i+1}} N_{i+1,k}(u)$
- ➄  $0/0 = 0$ ,  $(a/0) \cdot 0 = 0$
- ➄  $N_{i,m}$  jest obciętym (w węzłach) wielomianem stopnia  $m - 1$
- ➄  $\text{supp } N_{i,m} = [u_i, u_{i+m}]$  jest obciętym (w węzłach) wielomianem stopnia  $m - 1$
- ➄  $N_{i,m}$  zależy tylko od  $u_i, \dots, u_{i+m}$

## Przykład. Węzły jednorodne, $m = 2$

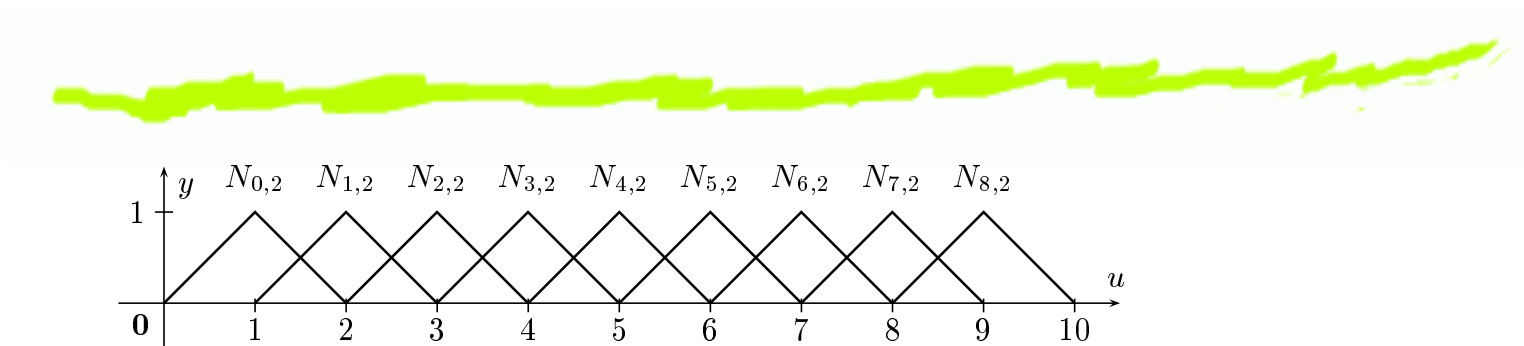


Figure VIII.6: The order two (piecewise degree one) blending functions with uniformly spaced knots,  $u_i = i$ . Here  $\ell = 10$ , and there are  $\ell + 1$  knots and  $\ell - 1$  blending functions. The associated B-spline curve of equation (VIII.2) is defined for  $1 \leq u \leq \ell - 1$ .

$$N_{0,2} = \begin{cases} u & 0 \leq u \leq 1, \\ 2 - u & 1 \leq u \leq 2, \\ 0 & \text{otherwise} \end{cases}$$

# Przykład. Węzły jednorodne, $m = 3$

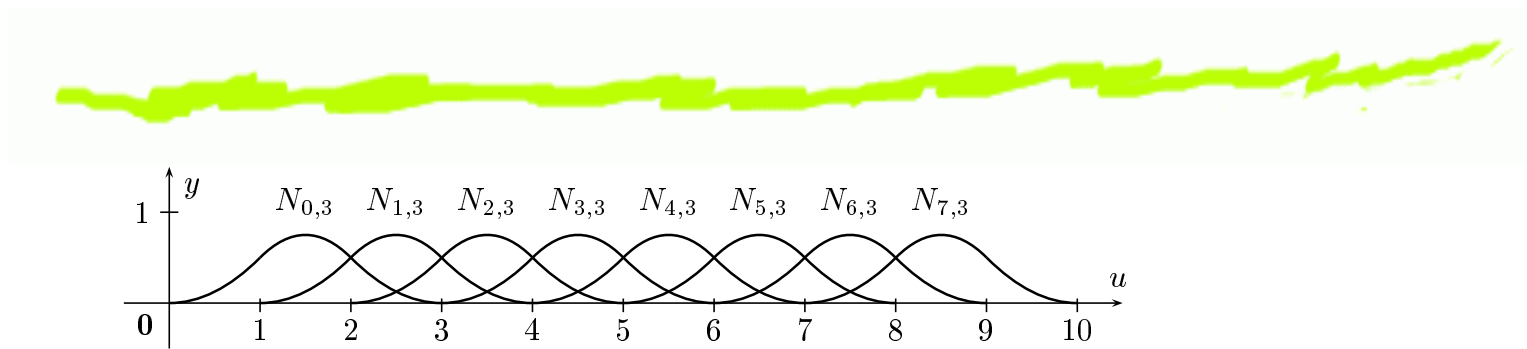


Figure VIII.7: The order three (piecewise degree two) blending functions with uniform knot positions  $u_i = i$ . We still have  $\ell = 10$ ; there are  $\ell + 1$  knots and  $\ell - 2$  blending functions. The associated B-spline curve of equation (VIII.3) is defined for  $2 \leq u \leq \ell - 2$ .

$$⑥ N_{0,3} = \begin{cases} \frac{1}{2}u^2 & 0 \leq u < 1, \\ \frac{1}{2}u(2-u) + \frac{1}{2}(3-u)(u-1) & 1 \leq u < 2, \\ \frac{1}{2}(3-u)^2 & 2 \leq u < 3, \\ 0 & \text{otherwise} \end{cases}$$

# **Przykład. Węzły jednorodne, $m = 4$**

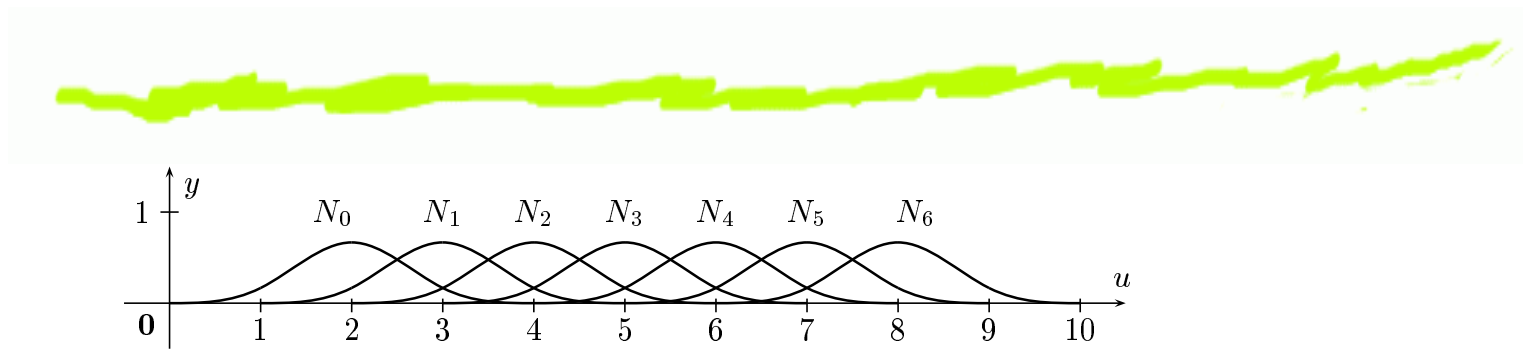


Figure VIII.3: The blending functions for a uniform, degree three B-spline. Each function  $N_i$  has support  $(i, i + 4)$ .

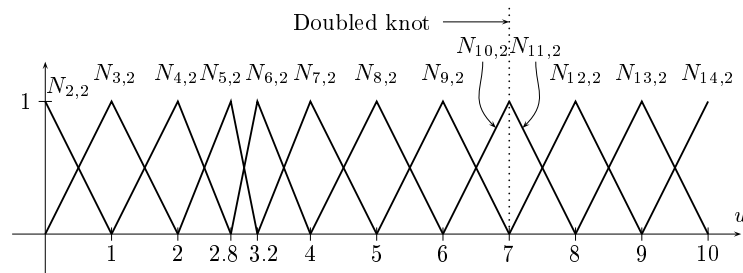
# Przykład. Krzywe Béziera



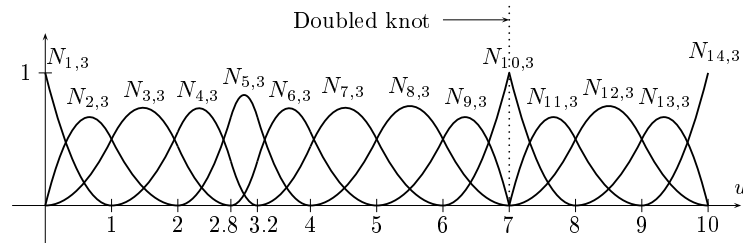
- ⑥ węzły:  $0, 0, 0, 0, 1, 1, 1, 1$
- ⑥  $N_{3,1}(u) = \begin{cases} 1, & 0 \leq u \leq 1 \\ 0 & \text{innych} \end{cases}$
- ⑥  $N_{i,1} = 0$  dla  $i \neq 3$
- ⑥  $N_{2,2}(u) = 1 - u, N_{3,2}(u) = u$
- ⑥  $N_{1,3}(u) = (1 - u)^2, N_{2,3}(u) = 2u(1 - u), N_{3,3}(u) = u^2$
- ⑥  $N_{0,4}(u) = (1 - u)^3, N_{1,4}(u) = 3u(1 - u)^2,$   
 $N_{2,4}(u) = 3u^2(1 - u), N_{3,4}(u) = u^3$

# Niejednorodne wielokrotne węzły

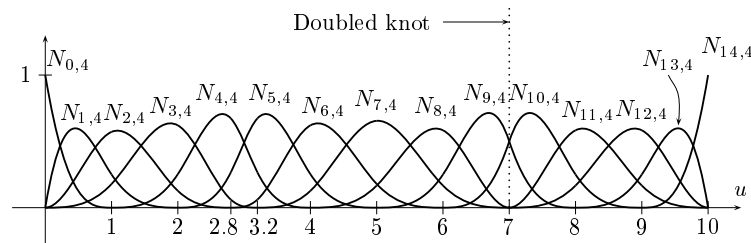
⌚ węzły: 0, 0, 0, 0, 1, 2,  $2\frac{4}{5}$ ,  $3\frac{1}{5}$ , 4, 5, 6, 7, 7, 8, 9, 10, 10, 10, 10



(a) Degree one blending functions.



(b) Degree two blending functions.



(c) Degree three blending functions.

# Właściwości

**Twierdzenie 1.** Niech dane będą węzły  $u_0 \leq u_1 \leq \dots \leq u_l$ . Wtedy funkcje wagowe  $N_{i,m}(u)$  dla  $0 \leq i \leq l - m$  mają następujące właściwości:

- ➊  $\text{supp } N_{i,m} = [u_i, u_{i+m}]$  dla  $m \geq 1$
- ➋  $N_{i,m} \geq 0$
- ➌  $\sum_{i=0}^{l-m} N_{i,m}(u) = 1$  dla  $u_{m-1} \leq u \leq u_{l-m+1}$

# Właściwości

**Twierdzenie 2.** Niech dane będą węzły  $u_0 \leq u_1 \leq \dots \leq u_l$ . Wtedy funkcje wagowe  $N_{i,m}(u)$  dla  $0 \leq i \leq l - m$  mają następujące właściwości:

- ➊  $\text{supp } N_{i,m} = [u_i, u_{i+m}]$  dla  $m \geq 1$
- ➋  $N_{i,m} \geq 0$
- ➌  $\sum_{i=0}^{l-m} N_{i,m}(u) = 1$  dla  $u_{m-1} \leq u \leq u_{l-m+1}$

$$q(u) = \sum_{i=0}^n N_{i,m}(u)p_i, \quad u_{m-1} \leq u \leq u_{l-m+1} = u_{n+1}$$

$$q(u) = \sum_{i=j-m+1}^j N_{i,m}(u)p_i, \quad u_j \leq u \leq u_{j+1}$$

# Właściwości

**Twierdzenie 3.** Niech  $q(u)$  będzie krzywą B-sklejaną stopnia  $m - 1$  i węzeł  $u_i$  ma krotność  $\mu$ . Wtedy  $q(u)$  ma ciągłe pochodne do stopnia  $m - \mu - 1$  w punkcie  $u_i$ .

# Wymierne B-sklejane krzywe

(NURBS)



$$p_i = (x : y : z : w),$$

$$q(u) = \sum_i N_{i,m}(u)p_i$$

- ➄ współrzędna  $w$  pozwala na powiększenie wagi punktu kontrolnego
- ➄ modelowanie krzywych stożkowych
- ➄ rzut perspektywiczny krzywej wymiernej jest zawsze krzywą wymierną
- ➄ punkty kontrolne mogą być umieszczone w nieskończoności

# ***NURBS w openGL (GLU)***



```
GLUnurbsObj * curve1;  
curve1 = gluNewNurbsRenderer();  
gluBeginCurve( curve1 );  
    gluNurbsCurve( curve1 ,numKnots ,knotData ,  
        stride ,data ,degParam ,GL_MAP1_VERTEX_3 );  
gluEndCurve( curve1 );
```

# ***NURBS w openGL (GLU)***

```
GLfloat knotVector[8] =  
    {0.0,0.0,0.0,0.0,1.0,1.0,1.0,1.0};  
GLfloat ctrlPts[4][3] = {{-4.0,1.0,0.0},  
    {-2.0,5.0,0.0},{3.0,-4.0,0.0},  
    {5.0,1.0,0.0}};  
GLUnurbsObj * cubicBezCurve;  
cubicBezCurve = gluNewNurbsRenderer();  
gluBeginCurve(cubicBezCurve);  
    gluNurbsCurve(cubicBezCurve,8,knotVector,  
        3, & ctrlPts[0][0],4,GL_MAP1_VERTEX_3);  
gluEndCurve(cubicBezCurve);
```

# **NURBS Powierzchnie**

```
gluBeginSurface (surfName);  
    gluNurbsSurface (surfName , nuKnots ,  
        uknotVector , nvKnots , vKnotVector ,  
        uStride , vStride , &ctrlPts [0][0][0] ,  
        uDegParam , vDegParam , GL_MAP2_VERTEX_3 );  
gluEndSurface (surfName);
```